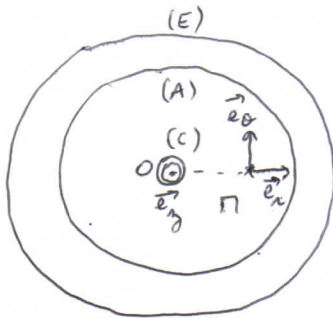


PREMIER PROBLEME: Synthèse de composés semi-conducteurs: Epitaxie par jet moléculaire (d'après banque PT 2016)

"Vide du vide": les jauges de pression UHV

Q1) a)



b) * le plan contenant Π et l'axe (Oz) \perp à l'axe (Oz)

est plan de symétrie du problème (de la distribution de charges). Or \vec{E} est un vecteur polaire donc $\vec{E}(\pi) \in$ à ce plan

$$\begin{aligned} \Rightarrow \left\{ \begin{aligned} \vec{E}(\pi) &= E_r \vec{u}_r + E_\theta \vec{u}_\theta + E_z \vec{u}_z \\ \vec{E}(\pi) &= E_r \vec{u}_r + E_\theta \vec{u}_\theta + E_z \vec{u}_z \end{aligned} \right. \\ \Rightarrow \vec{E}(\pi) &= E \vec{u}_r \end{aligned}$$

* On a invariance du problème (de la distribution de charges) par rotation autour de (Oz) translation suivant \vec{e}_z

$$\Rightarrow \left\{ \begin{aligned} E(r, \phi, z) \text{ et } V(r, \phi, z) \\ E(r, \theta, \phi) \text{ et } V(r, \theta, \phi) \end{aligned} \right.$$

$$\Rightarrow \boxed{V(\pi) = V(r)} \text{ et } \boxed{\vec{E}(\pi) = E(r) \vec{e}_r}$$

Q2) a) $\boxed{\text{div } \vec{E} = \frac{\rho}{\epsilon_0}}$

ρ = densité volumique de charges
 ϵ_0 : permittivité diélectrique du vide

b) * entre A et C: gaz rarifié assimilable au vide
 $\Rightarrow \rho = 0$
 $\Rightarrow \text{div } \vec{E} = 0$

* équation de Maxwell - Faraday: $\text{rot } \vec{E} = -\frac{\partial \vec{B}}{\partial t}$
 régime permanent

$$\text{rot } \vec{E} = \vec{0} \Rightarrow \vec{E} = -\text{grad } V$$

$$\begin{aligned} * \Rightarrow \text{div}(-\text{grad } V) = 0 &\Rightarrow \text{div}(\text{grad } V) = 0 \\ \Rightarrow \Delta V = 0 &\text{ (équation de Laplace)} \end{aligned}$$

$$* \Delta V = \frac{1}{r} \frac{\partial}{\partial r} \left(r \frac{\partial V}{\partial r} \right) + \frac{1}{r^2} \frac{\partial^2 V}{\partial \phi^2} + \frac{\partial^2 V}{\partial z^2}$$

$V(r, \phi, z)$

$$\Rightarrow \frac{1}{r} \frac{d}{dr} \left(r \frac{dV}{dr} \right) = 0 \Rightarrow \boxed{\frac{d}{dr} \left(r \frac{dV}{dr} \right) = 0}$$

c) On résout: $r \frac{dV}{dr} = K \Rightarrow \frac{dV}{dr} = \frac{K}{r}$

$$\Rightarrow V(r) = K \ln r + K'$$

conditions aux limites: $\left\{ \begin{aligned} V(R_c) &= 0 \\ V(R_g) &= V_g \end{aligned} \right.$

$$\left\{ \begin{aligned} K \ln R_c + K' &= 0 \\ K \ln R_g + K' &= V_g \end{aligned} \right.$$

$$\Rightarrow \left\{ \begin{aligned} V_g &= K \ln R_g - K \ln R_c = K \ln \frac{R_g}{R_c} \\ K' &= -K \ln R_c \end{aligned} \right.$$

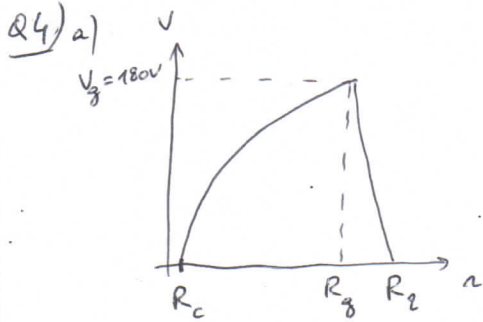
$$\Rightarrow \left\{ \begin{aligned} K &= \frac{V_g}{\ln \frac{R_g}{R_c}} \\ K' &= -\frac{V_g \ln R_c}{\ln \frac{R_g}{R_c}} \end{aligned} \right.$$

$$\Rightarrow \boxed{V(r) = V_g \frac{\ln \frac{r}{R_c}}{\ln \frac{R_g}{R_c}}}$$

Q3) $\vec{E} = -\text{grad} V = -\frac{\partial V}{\partial r} \vec{u}_r - \frac{1}{r} \frac{\partial V}{\partial \theta} \vec{u}_\theta - \frac{\partial V}{\partial \phi} \vec{u}_\phi$
 $= -\frac{dV}{dr} \vec{u}_r = -\frac{V_g}{\ln \frac{R_g}{R_c}} \frac{1}{r} \vec{u}_r$

$\vec{E}(r) = -\frac{V_g}{\ln \frac{R_g}{R_c}} \frac{1}{r} \vec{u}_r$

$\propto -\vec{u}_r$ ($R_g > R_c$)
 (OK dans le sens des potentiels décroissants)



lecture graphique:

$R_c = 1 \text{ mm}$
 $R_g = 60 \text{ mm}$

b) cf Q2) b) on a toujours $\frac{d}{dr} (r \frac{dV}{dr}) = 0$

$\Rightarrow V(r) = K_1 \ln r + K_2$

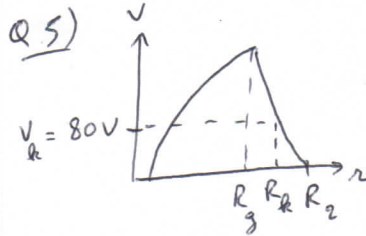
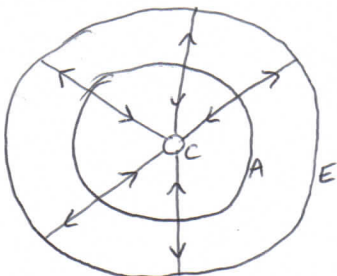
conditions aux limites: $\begin{cases} V(R_g) = V_g \\ V(R_2) = 0 \end{cases}$

$\Rightarrow V(r) = V_g \frac{\ln \frac{r}{R_2}}{\ln \frac{R_g}{R_2}}$

c) $\vec{E} = -\text{grad} V = -\frac{dV}{dr} \vec{u}_r = -\frac{V_g}{\ln \frac{R_g}{R_2}} \frac{1}{r} \vec{u}_r$

$\vec{E} = \frac{V_g}{\ln \frac{R_2}{R_g}} \frac{1}{r} \vec{u}_r$ $\propto +\vec{u}_r$ ($R_2 > R_g$)
 (OK dans le sens des potentiels décroissants)

d) entre C et A: $\vec{E} \propto -\vec{u}_r$
 entre A et E: $\vec{E} \propto +\vec{u}_r$



lecture graphique:

$R_k = 70 \text{ mm}$

Q6) a) système: élection
 référentiel: terrestre supposé galiléen
 actions: * force électrique: $-e\vec{E}$
 * poids: négligé
 * interactions entre les e^- : négligées

RFD: $m\vec{a} = -e\vec{E} \Rightarrow \vec{a} = \frac{d\vec{v}}{dt} = -\frac{e}{m}\vec{E}$

or \vec{E} est porté par \vec{u}_r

$\Rightarrow \vec{a}$ est porté par $\vec{u}_r \forall t$

Initialement, la vitesse est nulle.

Donc $\vec{v}(t=0^+) \propto \vec{u}_r$

$\vec{a} \propto \vec{u}_r \Rightarrow \vec{v}(t=0^{++}) \propto \vec{u}_r$

etc

$\Rightarrow \vec{v} \propto \vec{u}_r \forall t$

\Rightarrow la trajectoire de l' e^- est rectiligne selon \vec{u}_r .

b) $\delta W = \vec{F} \cdot d\vec{l} = -e\vec{E} \cdot d\vec{l} = e dV = d(eV)$
 $\Rightarrow E_p = -eV$ $\quad \uparrow \quad dV = -\vec{E} \cdot d\vec{l} = -dE_p$

$E_p(r) = -eV(r) = -eV_g \frac{\ln \frac{r}{R_c}}{\ln \frac{R_g}{R_c}}$ ($R_c < r < R_g$)

$E_p(r) = -eV(r) = -eV_g \frac{\ln \frac{r}{R_2}}{\ln \frac{R_g}{R_2}}$ ($R_g < r < R_2$)

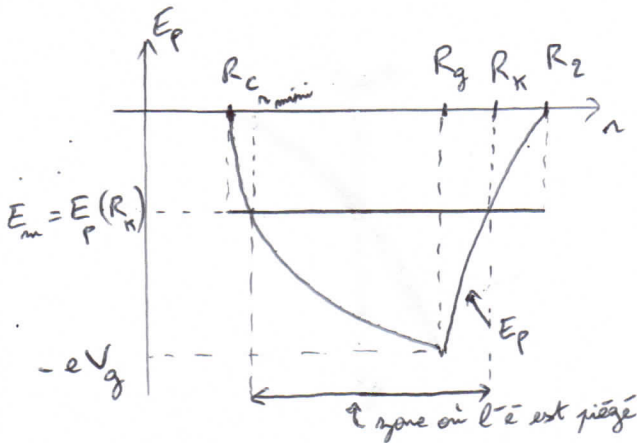
c) L' e^- n'est soumis qu'à une force (la force électrique) qui est une force conservative (elle dérive d'une E_p), donc l'énergie mécanique de l' e^- émis se conserve.

d) $r > R_g$: $E_p(r) = -eV(r) = -eV_g \frac{\ln \frac{r}{R_c}}{\ln \frac{R_g}{R_c}}$

$R_c < r < R_g$: $E_p(r) = -eV(r) = -eV_g \frac{\ln \frac{r}{R_c}}{\ln \frac{R_g}{R_c}}$

$E_m = c^2 = E_m(r=R_K) = E_p(r=R_K) + E_c(r=R_K)$
(vitesse nulle)

$E_m = E_p(r=R_K)$



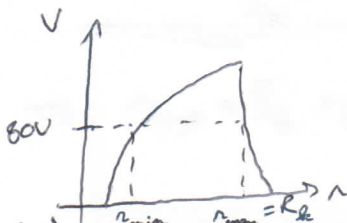
e) $E_m = E_c + E_p = \frac{1}{2} m v^2 + E_p > E_p$

E_p doit être inférieur à E_m

d'où $r_{max} = R_K = 70 \text{ mm}$

et r_{min} est tel que $E_p(r_{min}) = E_m = E_p(R_K)$

$-eV(r_{min}) = -eV(R_K)$
 $\Rightarrow v(r_{min}) = v(R_K) = 80 \text{ V}$



lecture graphique sur la figure B-6:

$r_{min} = 7 \text{ mm}$

Q7) a) système: électron

référentiel: terrestre supposé galiléen

action: force électrique $\vec{F} = -e\vec{E}$ et \vec{u}_r

RFD: $m \frac{d\vec{v}}{dt} = -e\vec{E} \Rightarrow \frac{d\vec{v}}{dt} = -\frac{e}{m} \vec{E} \propto \vec{u}_r$

$\Rightarrow \dot{v}_z = 0 \Rightarrow v_z = c^2 = 0$
condition initiale

\Rightarrow le mouvement de l' e^- se fait dans le plan \perp

(Oz)

$\star \vec{M}_O(\vec{F}) = \vec{OM} \wedge \vec{F} = (r \vec{u}_r + \rho \vec{u}_\theta) \wedge \vec{F}$
 $= \vec{0}$
 $v_z = \dot{z} = 0$ et \vec{u}_r par choix du point O

\star théorème du moment cinétique en O:

$\frac{dL(O)}{dt} = \vec{M}_O(\vec{F}) = \vec{0}$

On projette sur \vec{u}_z : $\frac{dL_z}{dt} = 0$

$\Rightarrow L_z = c^2$

b) $\star E_m = E_c + E_p = \frac{1}{2} m_e v^2 - eV_{sim}(r)$

\star or $\vec{v} = \dot{r} \vec{u}_r + r \dot{\theta} \vec{u}_\theta + \dot{z} \vec{u}_z$
mouvement plan (cf précédemment)

$\Rightarrow v^2 = \dot{r}^2 + r^2 \dot{\theta}^2$

$\star L(O) = \vec{OM} \wedge m_e \vec{v} = r \vec{u}_r \wedge m_e (\dot{r} \vec{u}_r + r \dot{\theta} \vec{u}_\theta)$
 $= m_e r^2 \dot{\theta} \vec{u}_z$

$\Rightarrow L_z = m_e r^2 \dot{\theta} \Rightarrow L_z^2 = m_e^2 r^4 \dot{\theta}^2$

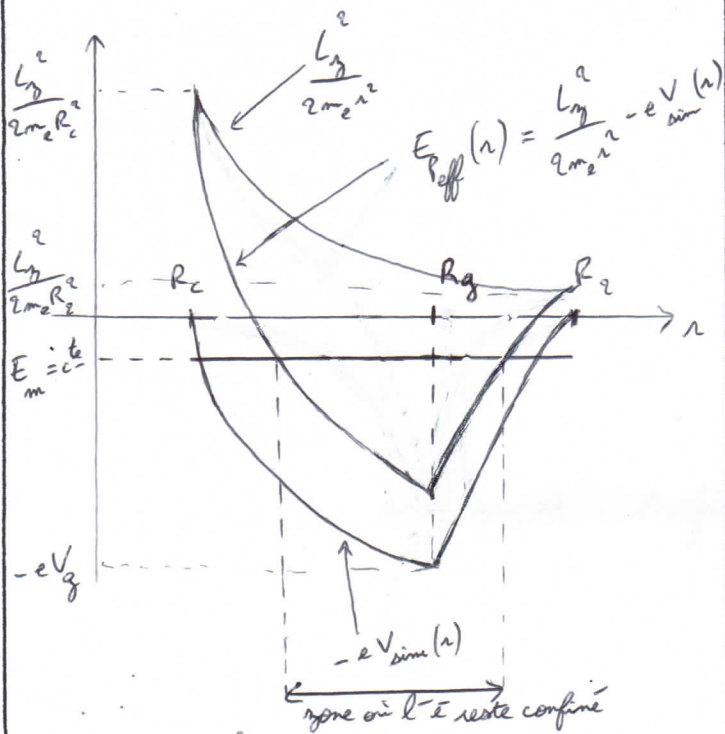
$\Rightarrow r^2 \dot{\theta}^2 = \frac{L_z^2}{m_e^2 r^2}$

$\star \Rightarrow E_m = \frac{1}{2} m_e \dot{r}^2 + \frac{1}{2} m_e \frac{L_z^2}{m_e^2 r^2} - eV_{sim}(r)$

$\Rightarrow E_m = \frac{1}{2} m_e \dot{r}^2 + E_{poff}(r)$

avec $E_{poff}(r) = \frac{L_z^2}{2 m_e r^2} - eV_{sim}(r)$

c) Tout comme dans la question 6, on a encore conservation de l'énergie mécanique. On trace $E_{poff}(r)$ en sommant $\frac{L_z^2}{2 m_e r^2}$ et $-eV_{sim}(r)$



$$E_m = \frac{1}{2} m_e \dot{r}^2 + E_{Peff}(r) > E_{Peff}(r)$$

→ $E_{Peff}(r)$ doit être inférieur à E_m

→ l' e^- reste confiné autour de la quille.

Q8) cf Q7)a)

$$m \frac{d\vec{v}}{dt} = -e\vec{E} \Rightarrow \frac{d\vec{v}}{dt} = -\frac{e}{m} \vec{E} \propto \vec{u}_r$$

$$\Rightarrow \ddot{z} = 0 \Rightarrow \dot{z} = 0 \Rightarrow z = c^k$$

$$* \text{ or } \dot{z}(t=0) = 0 \Rightarrow v_z = \dot{z} = 0 \quad \forall t$$

→ le mouvement de l' e^- se fait dans le plan $\perp (Oz)$.

Pas de mouvement de l' e^- suivant (Oz) .

* si $\dot{z}(t=0) \neq 0$, alors $v_z = c^k \quad \forall t$
 → mouvement rectiligne uniforme selon Oz
 → l' e^- risque de quitter la sonde par ses extrémités sans percuter de molécule de gaz.

DEUXIEME PROBLEME: Câble coaxial1) Electrostatique: (d'après banque PT 2003)1) Maxwell-Gauss: $\text{div } \vec{E} = \frac{\rho}{\epsilon_0} = 0$ dans le vide ($\rho=0$)Maxwell-Faraday: $\text{rot } \vec{E} = -\frac{\partial \vec{B}}{\partial t} = \vec{0}$
régime permanent2) symétries de la distribution de charges:- le plan contenant (O, z) et le point Π est plan de symétrie de la distribution $\Rightarrow \vec{E}(\Pi)$ est contenu dans ce plan (\vec{E} vecteur polaire) $\Rightarrow \vec{E} = E_r \vec{u}_r + E_z \vec{u}_z$ - le plan \perp à (O, z) et passant par Π est plan de symétrie de la distribution (l très grand \Rightarrow câble infini) $\Rightarrow \vec{E}(\Pi)$ est contenu dans ce plan

$$\Rightarrow \vec{E} = E_r \vec{u}_r + E_z \vec{u}_z$$

$$\Rightarrow \vec{E} = E_r \vec{u}_r$$

* invariance de la distribution de charges:- invariance par rotation autour de $(O, z) \Rightarrow E(r, \phi, z)$ - invariance par translation le long de $(O, z) \Rightarrow E(r, \phi)$
(l très grand \Rightarrow câble "infini")

$$\Rightarrow \vec{E} = E(r) \vec{u}_r$$

3) a) surface de Gauss: cylindre de hauteur l , de rayon r , d'axe (O, z)

$$\Rightarrow \oint \vec{E} \cdot d\vec{S} = \iint_{\text{base}} \vec{E} \cdot d\vec{S} + \iint_{\text{Sbt}} \vec{E} \cdot d\vec{S}$$

orient \vec{u}_r \uparrow \vec{u}_z

$$\Rightarrow \oint \vec{E} \cdot d\vec{S} = \iint_{\text{Sbt}} E(r) \vec{u}_r (r dt dz) \vec{u}_r = 2\pi l r E(r)$$

$$\text{thm de Gauss: } \oint \vec{E} \cdot d\vec{S} = \frac{Q_{\text{int}}}{\epsilon_0}$$

* $r < a$: $Q_{\text{int}} = 0 \Rightarrow E(r) = 0 \Rightarrow \vec{E} = \vec{0}$ pour $r < a$ * $a < r < b$: $Q_{\text{int}} = Q \Rightarrow E(r) = \frac{Q}{2\pi \epsilon_0 l r}$

$$\Rightarrow \vec{E} = \frac{Q}{2\pi \epsilon_0 l r} \vec{u}_r \text{ pour } a < r < b$$

* $r > b$: $Q_{\text{int}} = +Q - Q = 0 \Rightarrow E(r) = 0$

$$\Rightarrow \vec{E} = \vec{0} \text{ pour } r > b$$

b) Maxwell-Gauss $\Rightarrow \text{div } \vec{E} = \frac{\rho}{\epsilon_0}$ or $\vec{E} = E(r) \vec{u}_r$

$$\Rightarrow \text{div } \vec{E} = \frac{1}{r} \frac{\partial (rE)}{\partial r} \text{ or } E(r)$$

$$\Rightarrow \text{div } \vec{E} = \frac{1}{r} \frac{d(rE)}{dr} = \frac{\rho}{\epsilon_0}$$

or les conducteurs ne sont chargés qu'en surface $\Rightarrow \rho = 0$

$$\Rightarrow \frac{d(rE)}{dr} = 0 \Rightarrow rE = c^k \Rightarrow E(r) = \frac{c^k}{r}$$

* $r < a$: $E(0) = 0$ pour des raisons de symétrie

$$\text{or } E(r) = \frac{c^k}{r} \Rightarrow c^k = 0 \Rightarrow \vec{E} = \vec{0} \text{ pour } r < a$$

($E(0) \neq \infty$)

* $a < r < b$: conditions de passage du champ électrique à la traversée de la surface chargée en $r=a$:

$$\vec{E}(r=a^+) - \vec{E}(r=a^-) = \frac{\sigma_a}{\epsilon_0} \vec{u}_r$$

$$\text{or } Q = \sigma_a (2\pi a l) \Rightarrow \sigma_a = \frac{Q}{2\pi a l}$$

$$\Rightarrow \vec{E}(r=a^+) = \frac{Q}{2\pi \epsilon_0 l a} \vec{u}_r$$

$$\text{or pour } a < r < b, \vec{E} = \frac{c^k}{r} \vec{u}_r \Rightarrow c^k = \frac{Q}{2\pi \epsilon_0 l}$$

$$\Rightarrow \vec{E} = \frac{Q}{2\pi \epsilon_0 l r} \vec{u}_r \text{ pour } a < r < b$$

$$* r > b: \vec{E}(r=b^+) - \vec{E}(r=b^-) = \frac{\sigma_b}{\epsilon_0} \vec{u}_r$$

$$\text{avec } \vec{E}(r=b^-) = \frac{Q}{2\pi \epsilon_0 l b} \vec{u}_r$$

$$\text{et } \sigma_b = \frac{-Q}{2\pi b l}$$

$$\Rightarrow \vec{E}(r=b^+) - \frac{Q}{2\pi \epsilon_0 l b} \vec{u}_r = \frac{-Q}{2\pi \epsilon_0 l b} \vec{u}_r$$

$$\Rightarrow \vec{E}(r=b^+) = \vec{0}$$

$$\text{or pour } r > b, \vec{E} = \frac{c^k}{r} \vec{u}_r \Rightarrow c^k = 0$$

$$\Rightarrow \vec{E} = \vec{0} \text{ pour } r > b$$

c) * $r > b$, $\vec{E} = -\text{grad } V = \vec{0} \Rightarrow V = c^k = V_b$ (continuité du potentiel)

$$* a < r < b, \vec{E} = -\text{grad } V = \frac{Q}{2\pi \epsilon_0 l r} \vec{u}_r$$

or invariances $\Rightarrow V$ ne dépend que de r (comme pour \vec{E})

$$\Rightarrow \text{grad } V = \frac{dV}{dr} \vec{u}_r$$

$$\Rightarrow \frac{dV}{dr} = \frac{-Q}{2\pi \epsilon_0 l r} \Rightarrow V = \frac{-Q}{2\pi \epsilon_0 l} \ln r + c^k$$

en $r=b$, $V=V_2$ (continuité du potentiel)

$$\Rightarrow V_2 = \frac{-Q}{2\pi\epsilon_0 l} \ln b + c \Rightarrow c = V_2 + \frac{Q}{2\pi\epsilon_0 l} \ln b$$

$$\Rightarrow V = V_2 + \frac{Q}{2\pi\epsilon_0 l} \ln \frac{b}{r}$$

en $r=a$, $V=V_1 = V_2 + \frac{Q}{2\pi\epsilon_0 l} \ln \frac{b}{a}$ (continuité du potentiel)

$$\Rightarrow V_1 - V_2 = \frac{Q}{2\pi\epsilon_0 l} \ln \frac{b}{a}$$

$$5) C = \frac{Q}{V_1 - V_2} \Rightarrow C = \frac{2\pi\epsilon_0 l}{\ln \frac{b}{a}}$$

Pour $l=1m$ $\Rightarrow C'_0 = \frac{2\pi\epsilon_0}{\ln \frac{b}{a}}$

6) densité volumique d'énergie électrostatique: $\frac{dW_e}{dT} = \frac{1}{2} \epsilon_0 E^2$

* $r < a$: $\frac{dW_e}{dT} = 0$

** $a < r < b$: $\frac{dW_e}{dT} = \frac{Q^2}{8\pi^2 \epsilon_0 l^2 r^2}$

* $r > b$: $\frac{dW_e}{dT} = 0$

$$W_e = \iiint_{\text{tout l'espace}} \left(\frac{1}{2} \epsilon_0 E^2\right) dT = \int_0^{2\pi} \int_0^l \int_a^b \frac{Q^2}{8\pi^2 \epsilon_0 l^2 r^2} r dr d\theta dz$$

$E=0$ pour $r < a$ et $r > b$

$$W_e = \frac{Q^2}{8\pi^2 \epsilon_0 l^2} \ln \frac{b}{a} 2\pi l = \frac{Q^2 \ln \frac{b}{a}}{4\pi \epsilon_0 l} = W_e$$

ou $W_e = \frac{1}{2} C (V_1 - V_2)^2 = \frac{1}{2} \frac{Q^2}{C}$

on identifie $\Rightarrow C = \frac{2\pi\epsilon_0 l}{\ln \frac{b}{a}}$

7) AN: $C'_0 = \frac{2\pi\epsilon_0}{\ln \frac{b}{a}} = 1 \cdot 10^{-10} \text{ F} \cdot \text{m}^{-1}$

$$C'_0 = 1 \cdot 10^2 \text{ pF} \cdot \text{m}^{-1}$$

2) Magnétostatique:

1) Maxwell-flux: $\text{div } \vec{B} = 0$

Maxwell-Ampère: $\text{rot } \vec{B} = \mu_0 \vec{j} + \frac{1}{c^2} \frac{\partial \vec{E}}{\partial t} = \vec{0}$
vide régime permanent.

2) * symétries: le plan contenant (Oz) et le point Γ est plan de symétrie de la distribution de courant

Or \vec{B} est un pseudo-vecteur $\Rightarrow \vec{B} \perp$ à ce plan
 $\Rightarrow \vec{B} = B \vec{u}_\phi$ orthoradial

* invariances de la distribution de courant:

- invariance par rotation autour de (Oz) de la distribution de courant $\Rightarrow B(r, \phi, z)$

- invariance par translation le long de $(Oz) \Rightarrow B(r, \theta, \phi)$
 (l très grand \Rightarrow câble "infini")

$$\Rightarrow B(r)$$

$$\Rightarrow \vec{B} = B(r) \vec{u}_\phi$$

3) a) thm d'Ampère: $\oint_{\mathcal{L}} \vec{B} \cdot d\vec{l} = \mu_0 I_{\text{enc}}'$

\mathcal{L} : cercle d'axe (Oz) et de rayon r , orienté positivement autour de (Oz) .

$$\Rightarrow \oint_{\mathcal{L}} \vec{B} \cdot d\vec{l} = \oint_{\mathcal{L}} B(r) \vec{u}_\phi \cdot dl \vec{u}_\phi = \oint_{\mathcal{L}} B(r) dl$$

$$= B(r) \oint_{\mathcal{L}} dl = 2\pi r B(r)$$

$r = \text{cte}$ sur \mathcal{L}

* $r < a$: $I_{\text{enc}}' = 0 \Rightarrow B(r) = 0 \Rightarrow \vec{B} = \vec{0}$

* $a < r < b$: $I_{\text{enc}}' = +I_0 \Rightarrow 2\pi r B(r) = \mu_0 I_0$

$$\Rightarrow \vec{B} = \frac{\mu_0 I_0}{2\pi r} \vec{u}_\phi$$

* $r > b$: $I_{\text{enc}}' = +I_0 - I_0 = 0 \Rightarrow \vec{B} = \vec{0}$
 $r = a$ $r = b$

b) Maxwell-Ampère: $\text{rot } \vec{B} = \mu_0 \vec{j}$ or $\vec{B} = B \vec{u}_\phi$
 $\Rightarrow B_r = B_\theta = 0$ et $B = B_\phi = B(r)$
régime permanent

$$\Rightarrow \text{rot } \vec{B} = (0-0) \vec{u}_r + (0-0) \vec{u}_\theta + \frac{1}{r} \left(\frac{\partial(rB)}{\partial r} - 0 \right) \vec{u}_z$$

$$\Rightarrow \text{rot } \vec{B} = \frac{1}{r} \frac{d(rB)}{dr} \vec{u}_z \quad \text{car } B \text{ ne dépend que de } r$$

or les courants ne sont qu'en surface, pas en volume

$$\Rightarrow \vec{j} = \vec{0} \Rightarrow \text{rot } \vec{B} = \vec{0}$$

$$\Rightarrow \frac{d(rB)}{dr} = 0 \Rightarrow rB = c^b \Rightarrow B(r) = \frac{c^b}{r}$$

* $r < a$: $B(0) = 0$ car tout plan contenant (Oz)

est plan de symétrie de la distribution de courant

$$\Rightarrow \vec{B}(0) \perp \text{à ces plans} \Rightarrow \vec{B}(0) = \vec{0}$$

$$\text{or } B(r) = \frac{c^b}{r} \Rightarrow c^b = 0 \Rightarrow \boxed{\vec{B} = \vec{0}}$$

($B(0) \neq \infty$)

* $a < r < b$: condition de passage en $r = a$:

$$\vec{B}(r=a^+) - \vec{B}(r=a^-) = \mu_0 \vec{j}_{S_1} \wedge \vec{m}_{r2} = \mu_0 \vec{j}_{S_1} \wedge \vec{e}_r$$

$$= \frac{\mu_0 I_0}{2\pi a} \vec{m}_z \wedge \vec{m}_r = \frac{\mu_0 I_0}{2\pi a} \vec{m}_\theta$$

$$\text{or } \vec{B} = \frac{c^b}{r} \vec{m}_\theta \Rightarrow c^b = \frac{\mu_0 I_0}{2\pi}$$

$$\Rightarrow \boxed{\vec{B} = \frac{\mu_0 I_0}{2\pi r} \vec{m}_\theta}$$

* $r > b$: $\vec{B}(r=b^+) - \vec{B}(r=b^-) = \mu_0 \vec{j}_{S_2} \wedge \vec{e}_r$

$$\vec{B}(r=b^+) - \frac{\mu_0 I_0}{2\pi b} \vec{m}_\theta = \mu_0 \frac{-I_0}{2\pi b} \vec{m}_\theta \wedge \vec{e}_r$$

$$\Rightarrow \vec{B}(r=b^+) = \vec{0}$$

$$\text{or } \vec{B} = \frac{c^b}{r} \vec{m}_\theta \Rightarrow c^b = 0 \Rightarrow \boxed{\vec{B} = \vec{0}}$$

$$4) \phi = \iint_S \vec{B} \cdot d\vec{S} = \int_{z=0}^l \int_{r=a}^b \left(\frac{\mu_0 I_0}{2\pi r} \vec{m}_\theta \right) \left(dr d\theta \vec{e}_\theta \right)$$

$$\phi = \frac{\mu_0 I_0}{2\pi} l \int_a^b \frac{dr}{r} = \frac{\mu_0 I_0 l \ln \frac{b}{a}}{2\pi} = \phi$$

$$5) \phi = L I_0 \Rightarrow \boxed{L = \frac{\mu_0 l \ln \frac{b}{a}}{2\pi}}$$

$$\Rightarrow \boxed{L'_0 = \frac{\mu_0 \ln \frac{b}{a}}{2\pi}}$$

6) densité volumique d'énergie magnétique: $\frac{dW_m}{dV} = \frac{B^2}{2\mu_0}$

$$* r < a: \boxed{\frac{dW_m}{dV} = 0}$$

$$* a < r < b: \boxed{\frac{dW_m}{dV} = \frac{\mu_0 I_0^2}{8\pi^2 r^2}}$$

$$* r > b: \boxed{\frac{dW_m}{dV} = 0}$$

$$W_m = \iiint_{\text{tout l'espace}} \frac{B^2}{2\mu_0} dV = \int_{z=0}^l \int_{\theta=0}^{2\pi} \int_{r=a}^b \left(\frac{\mu_0 I_0^2}{8\pi^2 r^2} \right) r dr d\theta dz$$

B=0 pour $r < a$ et $r > b$

$$W_m = \frac{\mu_0 I_0^2}{8\pi^2} \int_a^b \frac{dr}{r} 2\pi l = \frac{\mu_0 l I_0^2}{4\pi} \ln \frac{b}{a} = W_m$$

$$\text{or } W_m = \frac{1}{2} L I_0^2$$

$$\text{on identifie} \Rightarrow \boxed{L = \frac{\mu_0 l \ln \frac{b}{a}}{2\pi}}$$

$$7) \underline{AN}: L'_0 = \frac{\mu_0}{2\pi} \ln \frac{b}{a} = 1 \cdot 10^{-7} \text{ H.m}^{-1} = L'_0$$

$$8) L'_0 C'_0 = \left(\frac{\mu_0}{2\pi} \ln \frac{b}{a} \right) \times \left(\frac{2\pi \epsilon_0}{\ln \frac{b}{a}} \right) = \mu_0 \epsilon_0$$

$$\boxed{L'_0 C'_0 = \mu_0 \epsilon_0 = \frac{1}{c^2}}$$

TROISIEME PROBLEME: Action exercée sur un condensateur à quadrants

1) $C = \frac{\epsilon_0 S}{e}$ avec S l'aire des 2 armatures en regard et e la distance qui les sépare.

$$S = 4 \times \frac{\theta R_1^2}{2}$$

↑
l'armature 1 est constituée d'un angle θ de 2 quadrants, doublé en regard avec l'armature 2, or ces condensateurs sont en parallèles, et $2 \times 2 = 4$!

↑ surface d'un quadrant
($2\pi \rightarrow S = \pi R_1^2$)
($\theta \rightarrow S = \frac{\theta R_1^2}{2}$)

$$\Rightarrow C = \kappa \theta \text{ avec } \kappa = \frac{2\epsilon_0 R_1^2}{e}$$

2) L'énergie du condensateur est: $\mathcal{E}_e = \frac{1}{2} C U^2$

$$\Rightarrow \mathcal{E}_e = \frac{1}{2} C U^2 = \frac{1}{2} \kappa \theta U^2 = \frac{\epsilon_0 R_1^2}{2} \theta U^2$$

3) θ varie $\Rightarrow C$ varie
ou $U = c^{\text{te}}$ $\Rightarrow Q = C U$ varie

\Rightarrow le déplacement d'un angle $d\theta$ va provoquer un mouvement de charges. Le générateur devra effectuer ou récupérer un travail pour amener ou retirer dQ d'une plaque à l'autre

$$4) \delta W_{el} = P dt = U I dt = U dQ$$

$$\Rightarrow \delta W_{el} = U dQ$$

$$\delta W_{el} = U d(CU) = U^2 dC = \kappa U^2 d\theta$$

$$\delta W_{el} = \kappa U^2 d\theta \text{ travail fourni par}$$

le générateur pour maintenir U constante.

$$5) \text{ bilan énergétique: } d\mathcal{E}_e = \delta W_{el} + \delta W_{op}$$

La variation d'énergie électrostatique est égale au travail fourni par le générateur + le travail fourni par l'opérateur.

$$\begin{aligned} \Rightarrow \delta W_{op} &= d\mathcal{E}_e - \delta W_{el} \\ &= d\left(\frac{1}{2} \kappa \theta U^2\right) - \kappa U^2 d\theta \\ &= \frac{\kappa U^2}{2} d\theta - \kappa U^2 d\theta \end{aligned}$$

$$\Rightarrow \delta W_{op} = -\frac{\kappa U^2}{2} d\theta$$

$$6) \delta W_{op} = \Gamma_{op} d\theta \Rightarrow \Gamma_{op} = -\frac{\kappa U^2}{2}$$

ou $\Gamma_{\theta} = -\Gamma_{op}$ (on opère réversiblement, donc infiniment lentement)

$$\Rightarrow \Gamma_{\theta} = \frac{\kappa U^2}{2}$$

7) A l'équilibre, on a $\Gamma_{\theta} - C_{\theta} \theta = 0$

$$\Rightarrow \frac{1}{2} \kappa U^2 - C_{\theta} \theta = 0 \Rightarrow U = \sqrt{\frac{2C_{\theta} \theta}{\kappa}}$$

$$\Rightarrow \frac{U_1}{U_2} = \frac{\sqrt{\frac{2C_{\theta} \theta_1}{\kappa}}}{\sqrt{\frac{2C_{\theta} \theta_2}{\kappa}}} = \sqrt{\frac{\theta_1}{\theta_2}}$$

$$\Rightarrow U_1 = U_2 \sqrt{\frac{\theta_1}{\theta_2}}$$

$$\Rightarrow U = 23 \sqrt{\frac{60}{15}}$$

$$\Rightarrow U = 46 \text{ V pour } \theta = 60^\circ$$

QUATRIÈME PROBLÈME: Form à induction (d'après banque PT 2003)

I) Distributions orthoradiales de courant électrique :

I-1) Distribution volumique orthoradiale de courants :

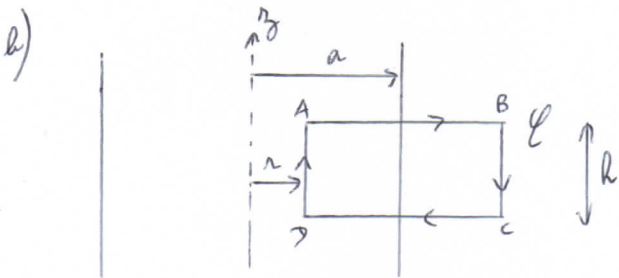
a-1) Le plan contenant \vec{n} et \perp à l'axe (Oz) est plan de symétrie de la distribution de courant (cylindre infini)
 or \vec{B} est un pseudo-vecteur $\Rightarrow \vec{B}(\vec{r}) \perp$ à ce plan
 $\Rightarrow \vec{B}_1$ est porté par \vec{u}_z

a-2) on a invariance de la distribution de courant par :

- translation suivant \vec{u}_z (cylindre infini) $\Rightarrow B_1(r, \theta, z)$

- rotation autour de (Oz) $\Rightarrow B_1(r, \phi, z)$

$\Rightarrow \boxed{B_1(r)}$



équation de Maxwell-Ampère: $\text{rot } \vec{B} = \mu_0 \vec{j} + \frac{1}{c^2} \frac{\partial \vec{E}}{\partial t}$
 régime permanent

\Rightarrow théorème d'Ampère: $\oint_{\ell} \vec{B} \cdot d\vec{\ell} = \mu_0 I_{\text{enc}} = \mu_0 \iint_S \vec{j} \cdot d\vec{S}$

$\oint_{\ell} \vec{B} \cdot d\vec{\ell} = \int_A^B \vec{B} \cdot d\vec{\ell} + \int_B^C \vec{B} \cdot d\vec{\ell} + \int_C^D \vec{B} \cdot d\vec{\ell} + \int_D^A \vec{B} \cdot d\vec{\ell}$
 $= \int_D^A \vec{B} \cdot d\vec{\ell} = \int_D^A B_1(r) \vec{u}_z \cdot d\vec{\ell} = B_1(r) h$
 $= \mu_0 \iint_S \alpha r \vec{u}_z \cdot d\vec{S} = \mu_0 \alpha h \int_0^a r dr = \mu_0 \alpha h \frac{a^2}{2}$

$B_1(r) h = \mu_0 \alpha h \int_0^a r dr$

$B_1(r) = \frac{\mu_0 \alpha}{2} (a^2 - r^2)$

$\vec{B}_1(r) = \frac{\mu_0 \alpha}{2} (a^2 - r^2) \vec{u}_z$

I-2) Distribution surfacique orthoradiale :

a) équation de Maxwell-flux: $\text{div } \vec{B} = 0$
 équation de Maxwell-Ampère: $\text{rot } \vec{B} = \mu_0 \vec{j} + \frac{1}{c^2} \frac{\partial \vec{E}}{\partial t} = \vec{0}$
 modèle surfacique régime permanent

Avec \vec{B}_0 uniforme, $\text{div } \vec{B}_0 = \frac{\partial B_{0x}}{\partial x} + \frac{\partial B_{0y}}{\partial y} + \frac{\partial B_{0z}}{\partial z} = 0$

et $\text{rot } \vec{B}_0 = \vec{0}$

\Rightarrow un champ uniforme \vec{B}_0 satisfait aux équations de Maxwell à l'intérieur du cylindre.

$\vec{B}_2 - \vec{B}_1 = \mu_0 \vec{j}_s \wedge \vec{u}_z$

continuité de la composante normale: $(\vec{B}_2 - \vec{B}_1) \cdot \vec{u}_{12} = 0$

discontinuité de la composante tangentielle: $\vec{u}_{12} \wedge (\vec{B}_2 - \vec{B}_1) = \mu_0 \vec{j}_s$

1: $r = a^- \Rightarrow \vec{u}_{12} = \vec{u}_z$
 2: $r = a^+ \Rightarrow \vec{u}_{12} = -\vec{u}_z$

$B(a^+) - B(a^-) = \mu_0 j_s \wedge \vec{u}_z$
 $\vec{0} - B_0 = \mu_0 j_s \wedge \vec{u}_z$

$\Rightarrow \vec{B}_0 = -\mu_0 j_s \wedge \vec{u}_z = -\mu_0 j_s \vec{u}_\theta \wedge \vec{u}_z$

$\vec{B}_0 = \mu_0 j_s \vec{u}_z$

II) Form à induction :

II-1) Champ magnétique à l'intérieur d'une form "vide" :

a) courant traversant la hauteur H :

$j_s H = Ni \Rightarrow \boxed{j_s = \frac{Ni}{H}}$

b) $\oint I(r) \cdot dl$: $\vec{B}_0 = \mu_0 \delta_s \vec{m}_z = \mu_0 \frac{N}{H} i \vec{m}_z = \vec{B}_0$

b) $B_0 = \mu_0 \frac{N}{H} i = \mu_0 \frac{N}{H} I_m \cos \omega t = K I_m \cos \omega t$

$\rightarrow K = \mu_0 \frac{N}{H}$

II-2) Terme principal du champ électromagnétique du form "charge"

a) équation de Maxwell-Faraday: $\text{rot } \vec{E} = -\frac{\partial \vec{B}}{\partial t}$

$\iint_S \text{rot } \vec{E} \cdot d\vec{S} = \oint_C \vec{E} \cdot d\vec{l} = -\iint_S \frac{\partial \vec{B}}{\partial t} \cdot d\vec{S} = -\frac{d}{dt} \iint_S \vec{B} \cdot d\vec{S}$

C : cercle d'axe (Oz) de rayon r

$d\vec{l} = +dl \vec{m}_\phi = +r dt \vec{m}_\phi$



$\oint_C \vec{E} \cdot d\vec{l} = \int E_\phi(r,t) \vec{m}_\phi \cdot r dt \vec{m}_\phi = 2\pi r E_\phi(r,t)$

$= -\frac{d}{dt} \iint_S \vec{B} \cdot d\vec{S} = -\frac{d}{dt} \iint_S B_0 \vec{m}_z \cdot dS \vec{m}_z$

$= -\pi r^2 \frac{dB_0}{dt}$ pour $r < a$

$\Rightarrow 2\pi r E_\phi(r,t) = -\pi r^2 \frac{d}{dt} (K I_m \cos \omega t)$

$= +\pi r^2 K I_m \omega \sin \omega t$

$\Rightarrow E_\phi(r,t) = \frac{K I_m \omega}{2} r \sin \omega t$

b) Pour un conducteur linéaire, homogène, isotrope, immobile,

loi d'Ohm locale: $\vec{j} = \delta \vec{E}$

$\Rightarrow \vec{j}_1 = \frac{\delta K I_m \omega}{2} r \sin \omega t \vec{m}_\phi$

II-3) Puissance transférée:

a) $P_v = \vec{j}_1 \cdot \vec{E}_1 = \frac{\delta K^2 I_m^2 \omega^2}{4} r^2 \sin^2 \omega t$

b) $P_{\text{instantanée}} = \iiint P_v dV = \iiint P_v r dr dt dz$

$P_{\text{instantanée}} = \frac{\delta K^2 I_m^2 \omega^2}{4} \sin^2 \omega t \cdot 2\pi H \int_0^a r^2 dr$

$P_{\text{instantanée}} = \frac{\delta K^2 I_m^2 \omega^2 \pi a^3 H}{8} \sin^2 \omega t$

c) $P = \langle P_{\text{instantanée}} \rangle$ or $\langle \sin^2 \omega t \rangle = \frac{1}{2}$

$\Rightarrow P = \frac{\delta K^2 I_m^2 \omega^2 a^3 V}{16}$ avec $V = \pi a^2 H$

d) on note E_{fusion} l'énergie requise pour la fusion

$E_{\text{fusion}} + E_{\text{pertes par rayonnement}} = P t_f$

$E_{\text{fusion}} (1 + \gamma) = P t_f$

or $E_{\text{fusion}} = \Delta_{\text{fus}} R \times \pi$

$\Rightarrow t_f = \frac{\pi \Delta_{\text{fus}} R (1 + \gamma)}{P}$

$t_f = \frac{16\pi \Delta_{\text{fus}} R (1 + \gamma)}{\delta K^2 I_m^2 \omega^2 a^3 V} = 3 \cdot 10^2 \text{ s} = 6 \text{ min}$